

Zeitschrift: Eclogae Geologicae Helvetiae
Herausgeber: Schweizerische Geologische Gesellschaft
Band: 61 (1968)
Heft: 2

Artikel: Über die Untergattungen Venezoliceras Spath und Laraiceras n. subgen. der Gattung Oxytropidoceras Stieler (Ammonoidea) aus den Venezolanischen Anden
Autor: [s.n.]
Anhang: tafeln
DOI: <https://doi.org/10.5169/seals-163608>

Nutzungsbedingungen

Die ETH-Bibliothek ist die Anbieterin der digitalisierten Zeitschriften. Sie besitzt keine Urheberrechte an den Zeitschriften und ist nicht verantwortlich für deren Inhalte. Die Rechte liegen in der Regel bei den Herausgebern beziehungsweise den externen Rechteinhabern. [Siehe Rechtliche Hinweise.](#)

Conditions d'utilisation

L'ETH Library est le fournisseur des revues numérisées. Elle ne détient aucun droit d'auteur sur les revues et n'est pas responsable de leur contenu. En règle générale, les droits sont détenus par les éditeurs ou les détenteurs de droits externes. [Voir Informations légales.](#)

Terms of use

The ETH Library is the provider of the digitised journals. It does not own any copyrights to the journals and is not responsible for their content. The rights usually lie with the publishers or the external rights holders. [See Legal notice.](#)

Download PDF: 18.03.2025

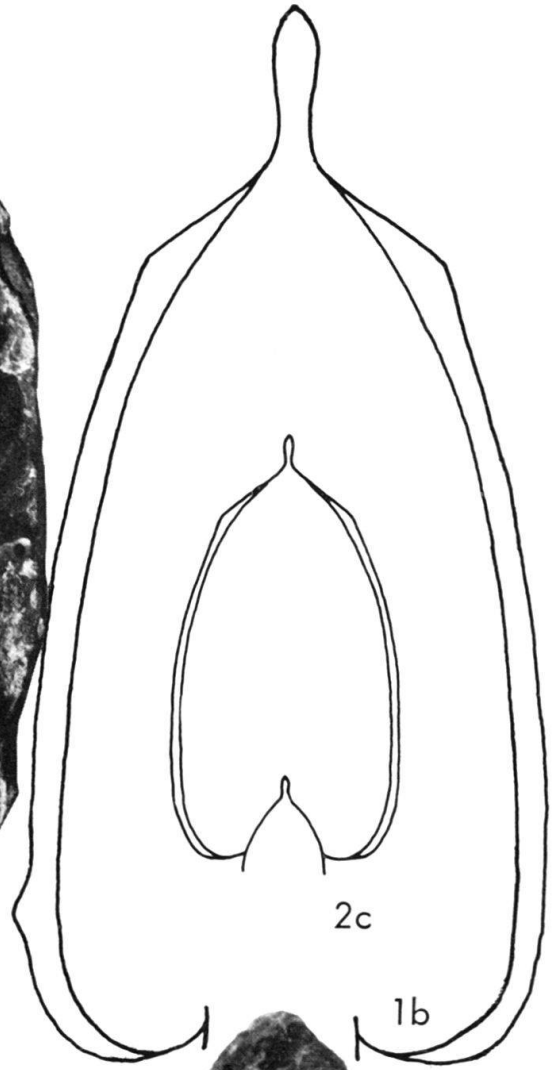
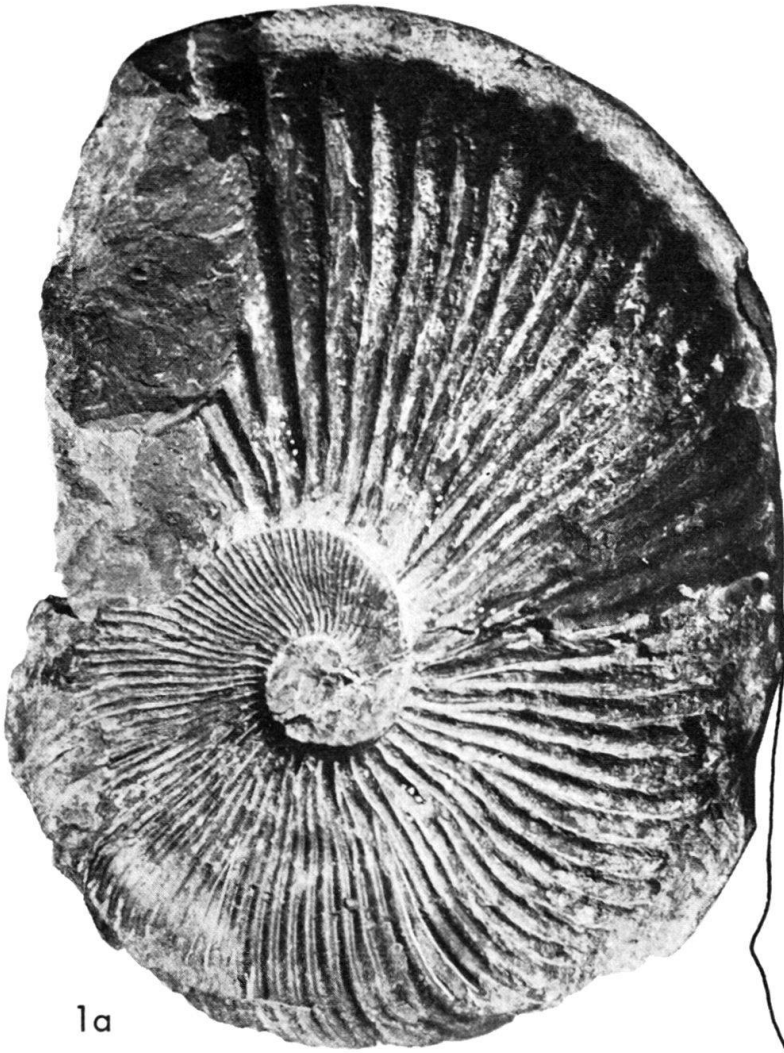
ETH-Bibliothek Zürich, E-Periodica, <https://www.e-periodica.ch>

Tafel I

- Fig. 1 a, b *Oxytropidoceras (Venezoliceras) multicoatum* n. sp., Holotypus Nr. J 17817, La Aguada, 1 a auf $\frac{1}{2}$ verkleinert, 1 b nat. Gr., p. 631.
- Fig. 2 a–c *O. (Venezoliceras) multicoatum* n. sp., Paratypus Nr. J 17818, innerer Umgang, La Aguada, nat. Gr., p. 632.

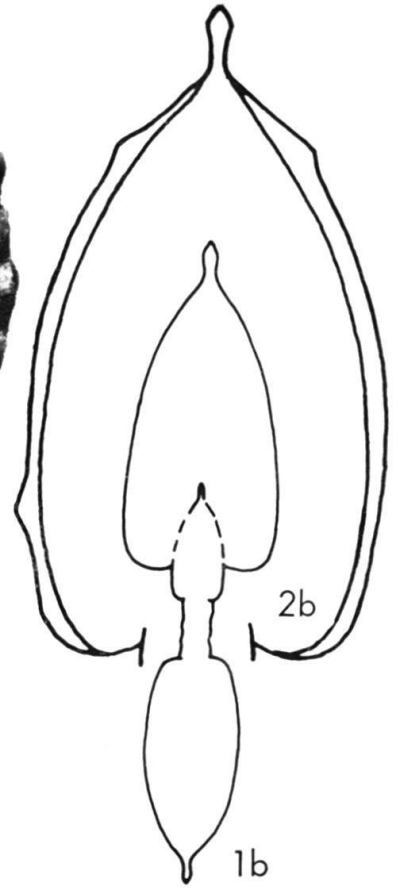
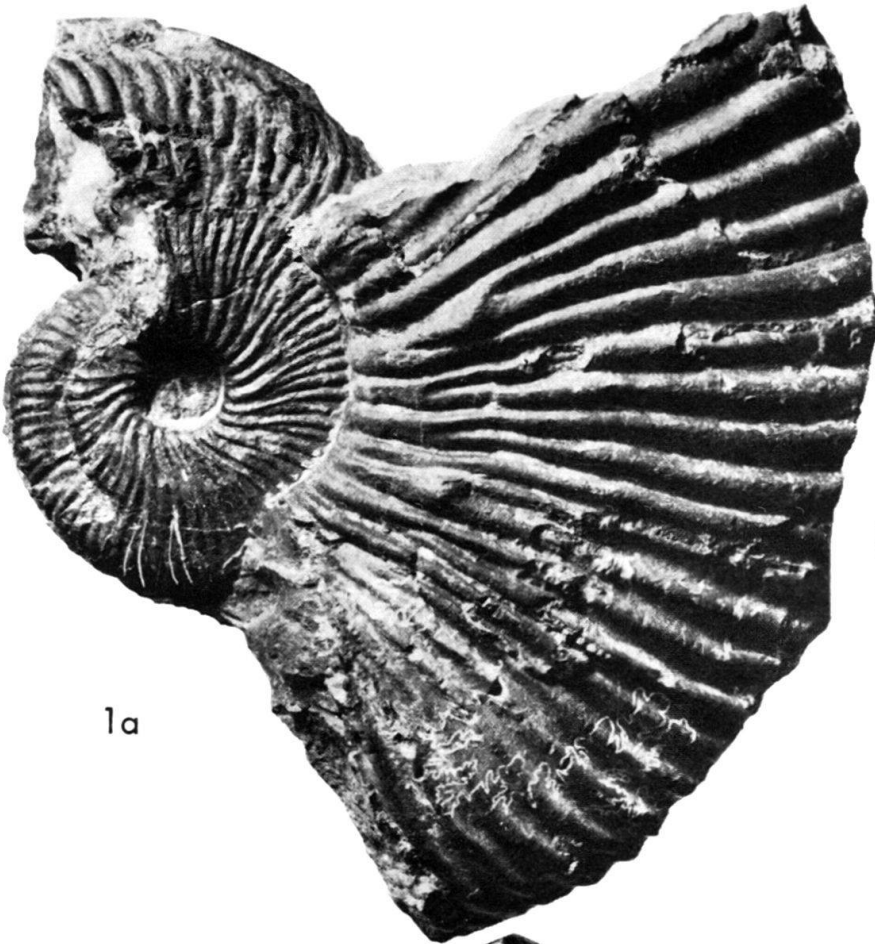
Alle hier abgebildeten Exemplare der Untergattung *Venezoliceras* stammen aus der obersten Lage des La Puya Member.

Das Ende des Phragmokons wurde mit einem kleinen Strich angedeutet.



Tafel II

- Fig. 1 a, b *O. (Venezolicerias) intermedium* n. sp., Paratypus Nr. J 17824, innerer und äusserer Umgang, La Aguada, nat. Gr., p. 635.
- Fig. 2a, b *O. (Venezolicerias) intermedium* n. sp., Holotypus Nr. J 17819, La Aguada, 2a auf $\frac{1}{2}$ verkleinert, 2b nat. Gr., p. 634.
- Fig. 3 *O. (Venezolicerias) intermedium* n. sp., Paratypus Nr. J 17823, Cerro Gordo, auf $\frac{1}{2}$ verkleinert, p. 636.



Tafel III

- Fig. 1 *O. (Venezoliceras) intermedium* n. sp., Paratypus Nr. J 17853, innerer Umgang, La Aguada, nat. Gr., p. 635.
- Fig. 2 *O. (Venezoliceras) karsteni* STIELER, Nr. J 17852, innerer Umgang, La Aguada, nat. Gr., p. 639.
- Fig. 3 a, b *O. (Venezoliceras) karsteni* STIELER, Nr. J 17830, La Aguada, nat. Gr. Der durch zwei Pfeile begrenzte Abschnitt entspricht etwa dem Holotypus (Textfig. 6), p. 639.



Tafel IV

Fig. 1 a, b

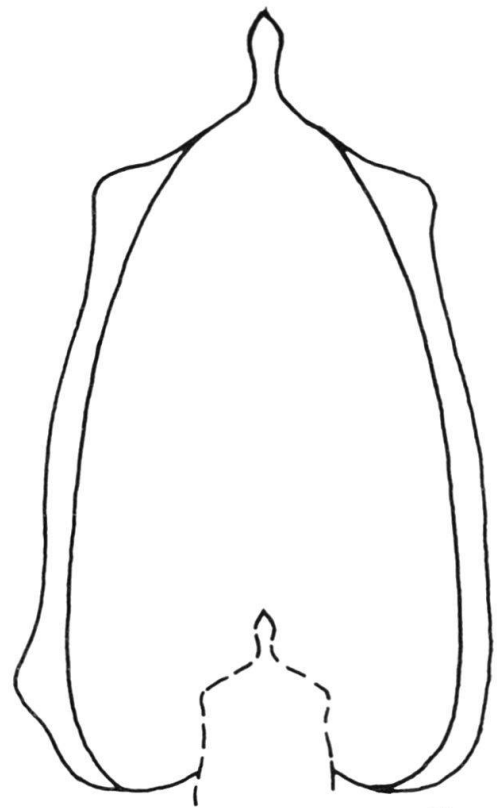
O. (Venezoliceras) karsteni STIELER, Nr. J 17827, La Aguada, 1 a auf $\frac{1}{2}$ verkleinert, 1 b nat. Gr., p. 638.

Fig. 2 a, b

O. (Venezoliceras) commune n. sp., Holotypus Nr. J 17832, Cerro Gordo, 2 a auf $\frac{1}{2}$ verkleinert, 2 b nat. Gr., p. 639.



1a



2b



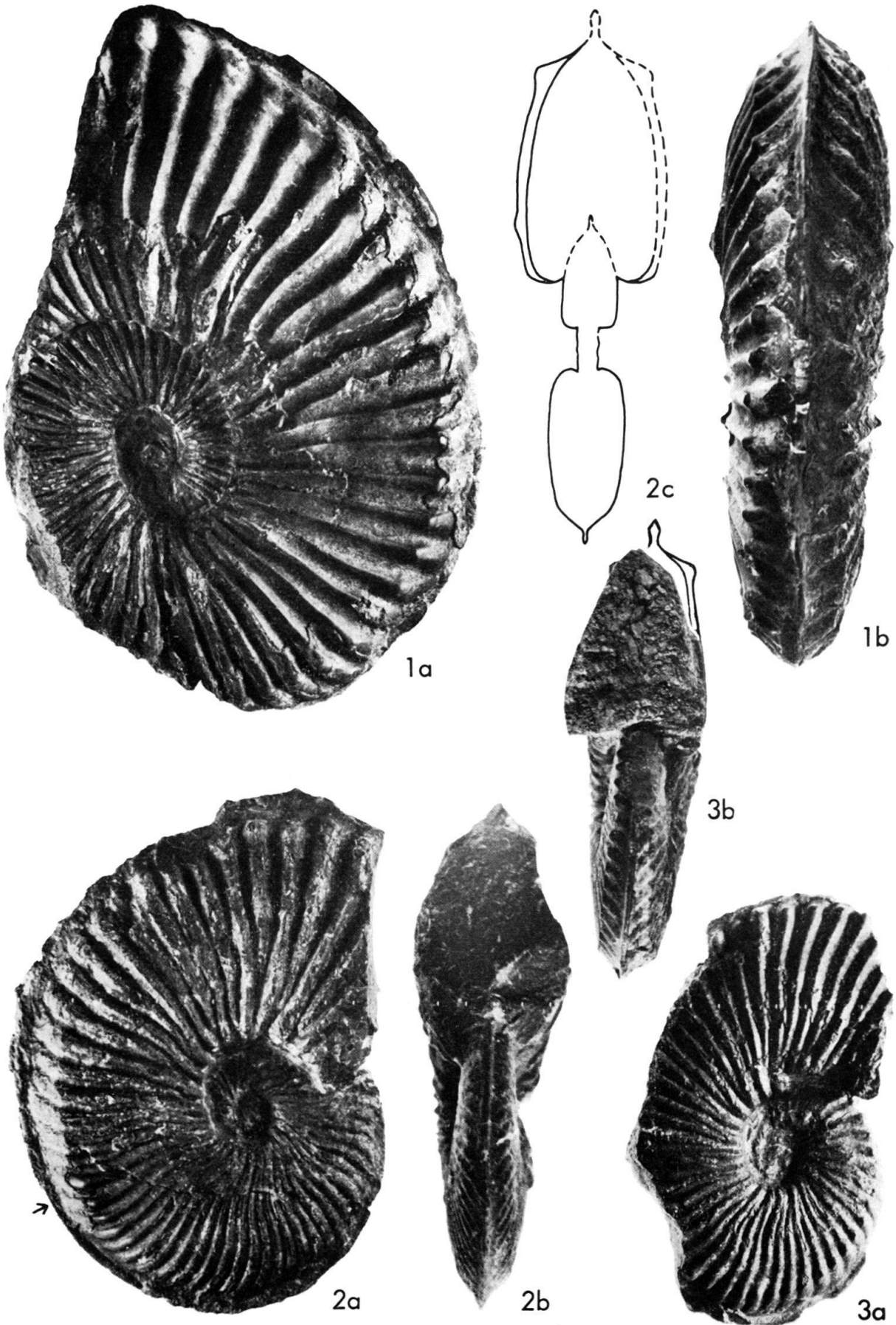
2a



1b

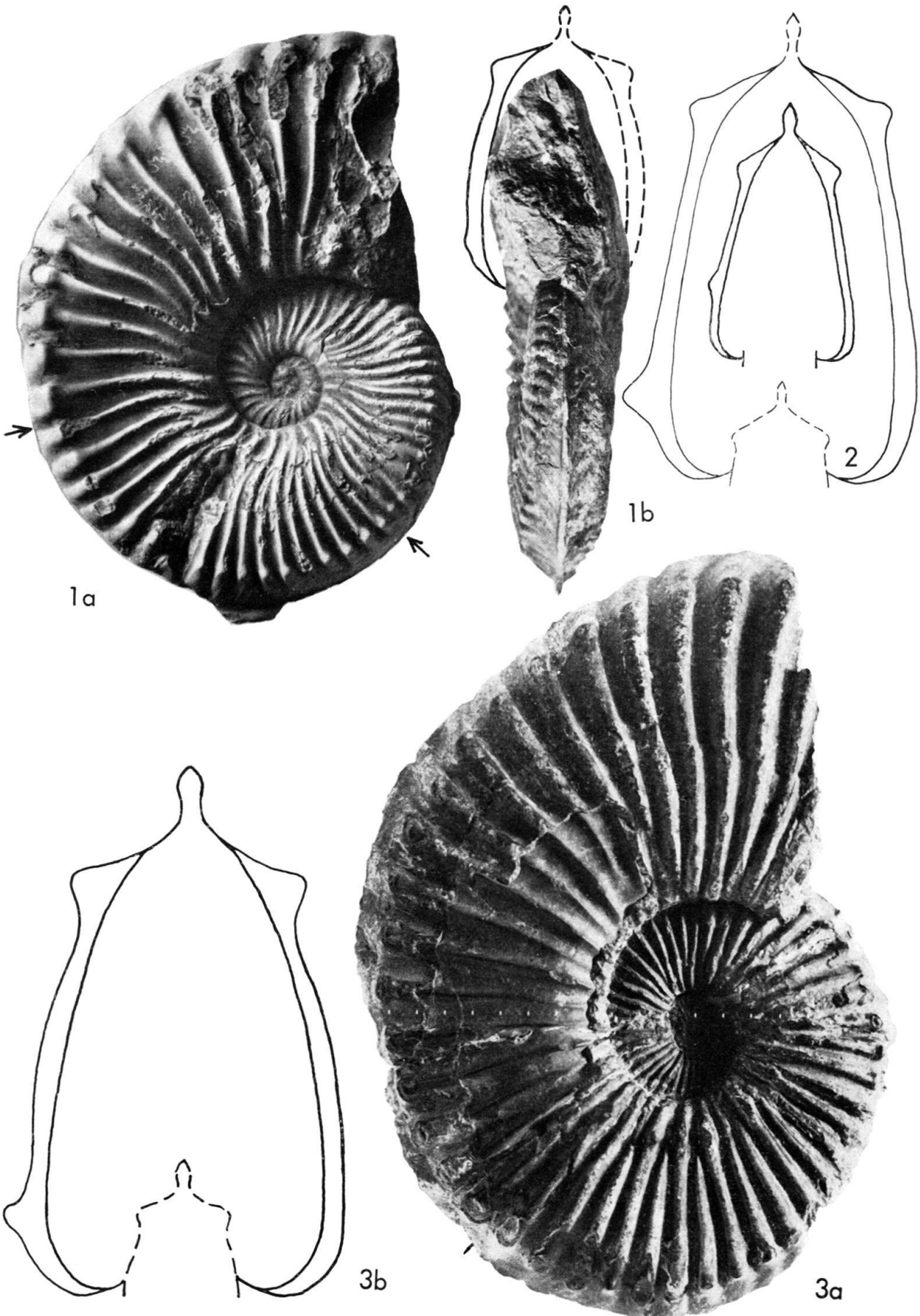
Tafel V

- Fig. 1 a, b *O. (Venezoliceras) commune* n. sp., Paratypus Nr. J 17835, La Aguada, auf $\frac{1}{2}$ verkleinert, p. 640.
- Fig. 2 a–c *O. (Venezoliceras) cf. commune* n. sp., abnorme Form Nr. J 17833, La Aguada, nat. Gr., p. 640.
- Fig. 3 a, b *O. (Venezoliceras) commune* n. sp., Paratypus Nr. J 17850, innerer Umgang, La Aguada, nat. Gr., p. 640.



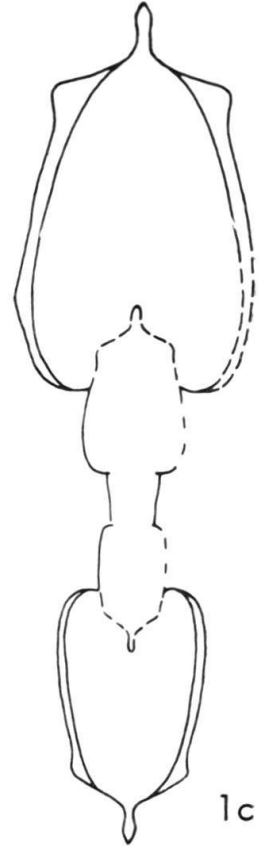
Tafel VI

- Fig. 1a, b *O. (Venezoliceras) cf. commune* n. sp., abnorme Form Nr. J 17834, La Aguada, nat. Gr., p. 641.
- Fig. 2 *O. (Venezoliceras) commune aff. pulchrum* n. ssp., Nr. J 17849, Exemplar mit flachen Flanken, La Aguada, nat. Gr., p. 642.
- Fig. 3a, b *O. (Venezoliceras) commune pulchrum* n. ssp., Holotypus Nr. J 17839, La Leona, auf $\frac{1}{2}$ verkleinert, p. 641.



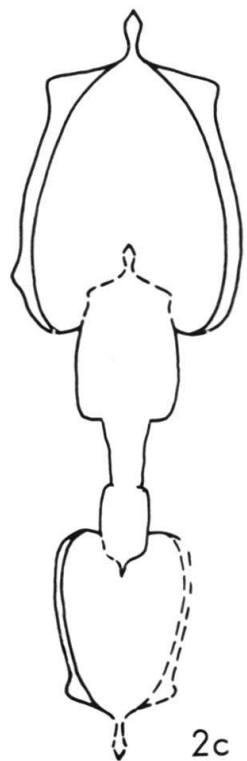
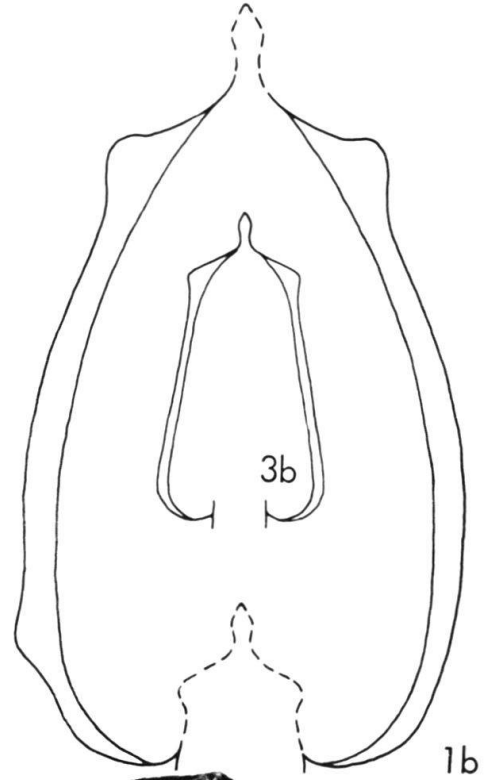
Tafel VII

- Fig. 1 a–c *O. (Venezoliceras) commune pulchrum* n. ssp., Paratypus Nr. J 17841, Häuser Vano, nat. Gr., p. 642.
- Fig. 2 *O. (Venezoliceras) commune* aff. *pulchrum* n. ssp., Nr. J 17849, Exemplar mit flachen Flanken, La Aguada, (mit Ammoniumchlorid bestäubt), nat. Gr., p. 642.



Tafel VIII

- Fig. 1 a, b *O. (Venezoliceras) bituberculatum* COLLIGNON, Nr. J 17842, Cerro Gordo, 1 a auf $\frac{1}{2}$ verkleinert, 1 b nat. Gr., p. 643.
- Fig. 2 a–c *O. (Venezoliceras) venezolanum* STIELER, Neotypus Nr. J 17844, La Aguada, nat. Gr. p. 644.
- Fig. 3 a, b *O. (Venezoliceras) commune pulchrum* n. ssp., Paratypus Nr. J 17845, innerer Umgang, La Aguada, nat. Gr., p. 642.



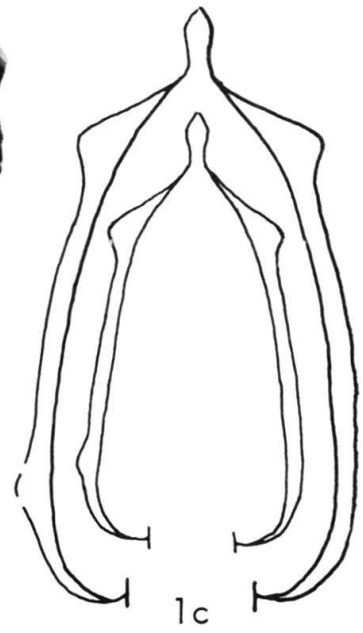
2a

2b

2c

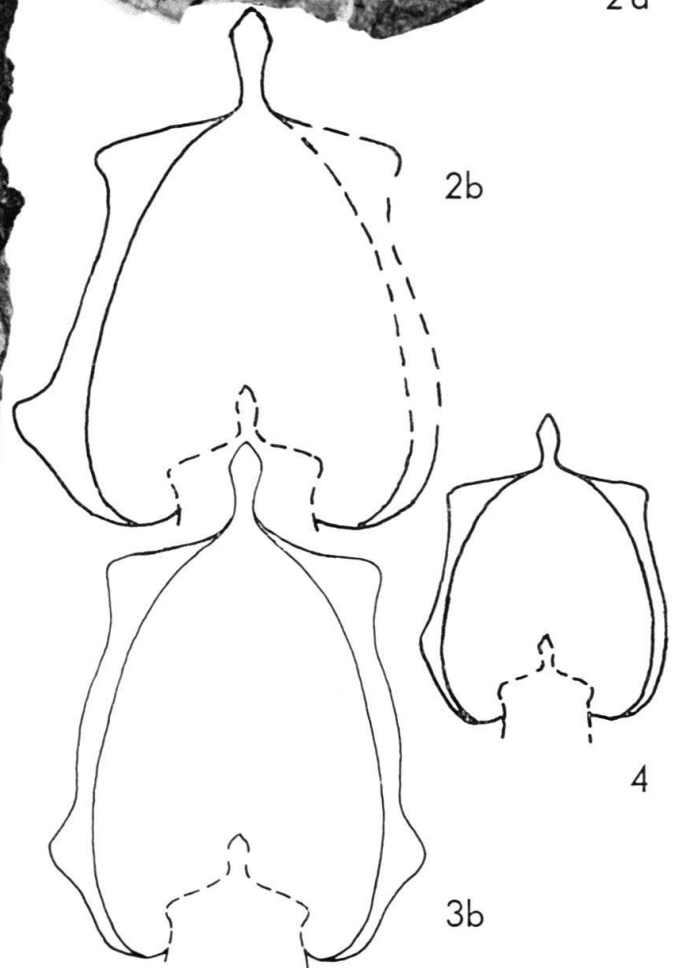
Tafel IX

- Fig. 1 a–c *O. (Venezoliceras) commune tenue* n. ssp., Holotypus Nr. J 17855, Cerro Gordo, 1 a, b auf $\frac{1}{2}$ verkleinert, 1 c nat. Gr., p. 642.
- Fig. 2 a, b *O. (Venezoliceras) madagascariense* (COLLIGNON), Nr. J 17847, Cerro Gordo, nat. Gr., p. 646.
- Fig. 3 *O. (Venezoliceras) madagascariense* (COLLIGNON), Nr. J 17848, La Aguada, um $\frac{1}{3}$ verkleinert, p. 646.



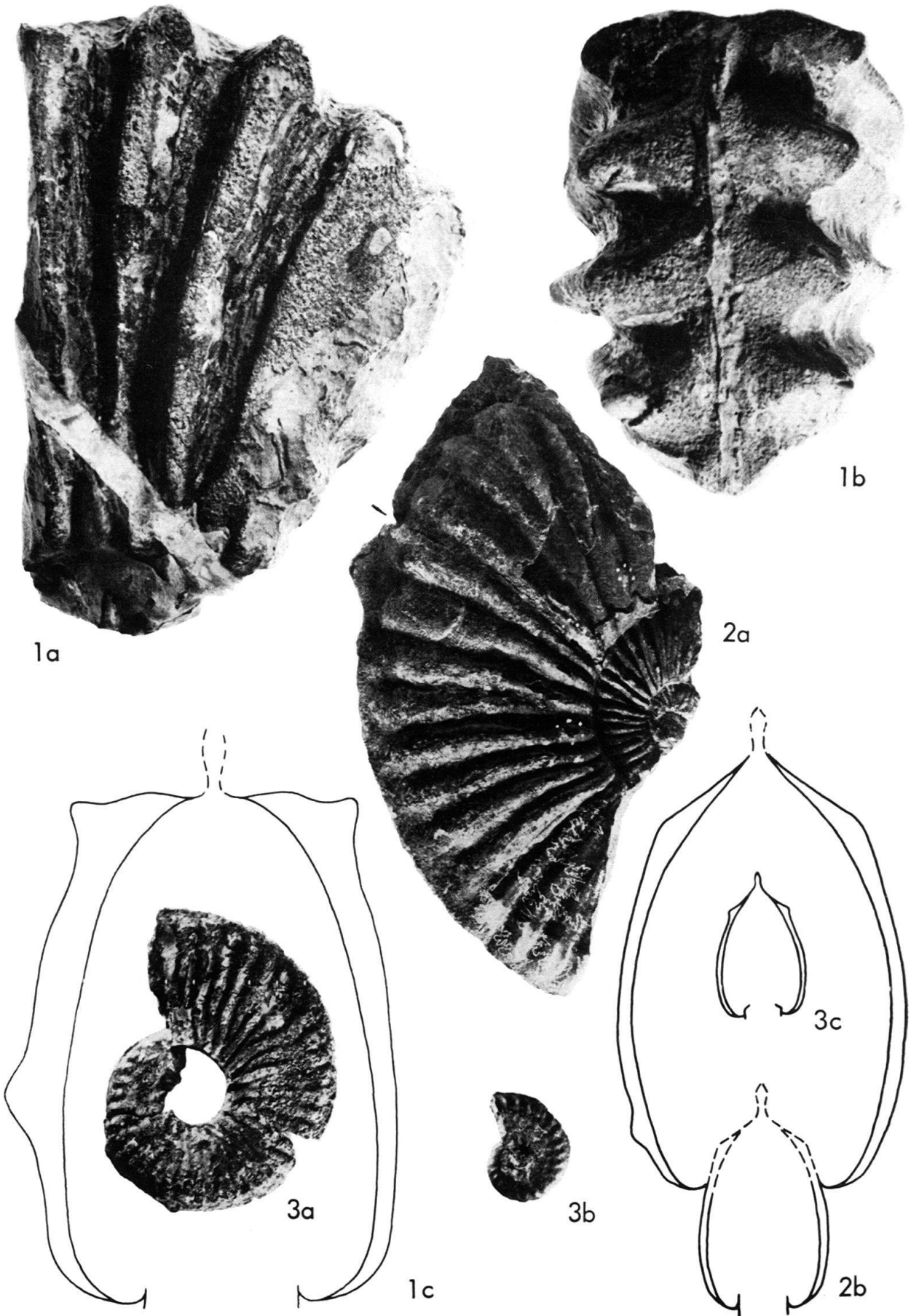
Tafel X

- Fig. 1 *O. (Venezoliceras) cf. madagascariense* (COLLIGNON), Nr. J 17857, Cerro Gordo, auf $\frac{1}{2}$ verkleinert, p. 647.
- Fig. 2a, b *O. (Venezoliceras) robustum* n. sp., Holotypus Nr. J 17856, La Aguada, 2a auf $\frac{1}{2}$ verkleinert, 2b nat. Gr., p. 647.
- Fig. 3a, b *O. (Venezoliceras) madagascariense* (COLLIGNON), Nr. J 17848, La Aguada, 3a um $\frac{1}{3}$ verkleinert, 3b nat. Gr., p. 646.
- Fig. 4 *O. (Venezoliceras) madagascariense* (COLLIGNON), Nr. J 17847, Cerro Gordo, nat. Gr., p. 646.



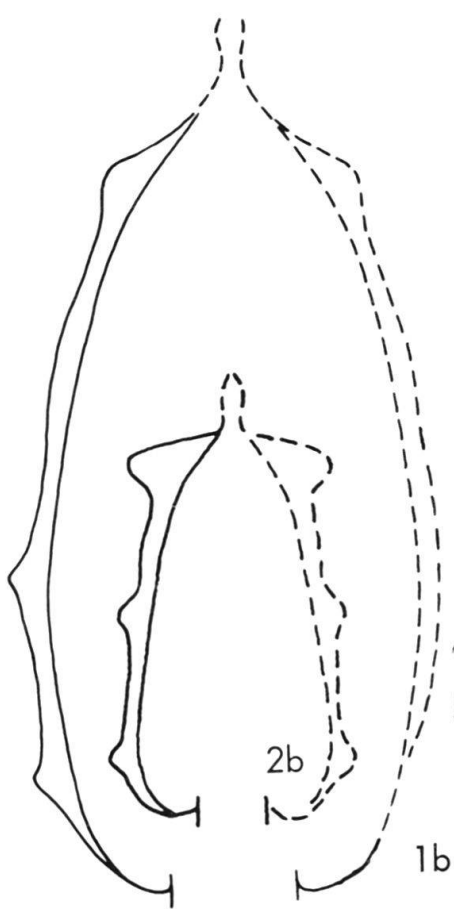
Tafel XI

- Fig. 1 a–c *O. (Venezoliceras)* sp., Nr. J 17859, La Aguada, nat. Gr., p. 648.
- Fig. 2 a, b *O. (Venezoliceras) clavicostatum* n. sp., Holotypus Nr. J 17860, La Aguada, 2a auf $\frac{1}{2}$ verkleinert, 2b nat. Gr., p. 648.
- Fig. 3 a–c *O. (Venezoliceras) clavicostatum* n. sp., Paratypus Nr. J 17869, La Aguada, 3a innerer Umgang ohne Lateralknoten, 3b dasselbe Exemplar Jugendstadium, 3c Windungsquerschnitt, alle nat. Gr., p. 649.



Tafel XII

- Fig. 1 a, b *Oxytropidoceras (Laraiceras) laraense* n. sp., Holotypus Nr. J 17861, Cerro Gordo, La Luna Formation (Schichten 2), 1 a um $\frac{1}{3}$ verkleinert, 1 b nat. Gr., p. 650.
- Fig. 2 a b *O. (Laraiceras) nodosum* n. sp., Paratypus Nr. J 17865, Cerro Gordo, La Luna Formation (Schichten 2), nat. Gr., p. 652.
- Fig. 3 *O. (Laraiceras)* sp., Nr. J 17863, Cerro Gordo, La Luna Formation (Schichten 2), nat. Gr., p. 652.



1a



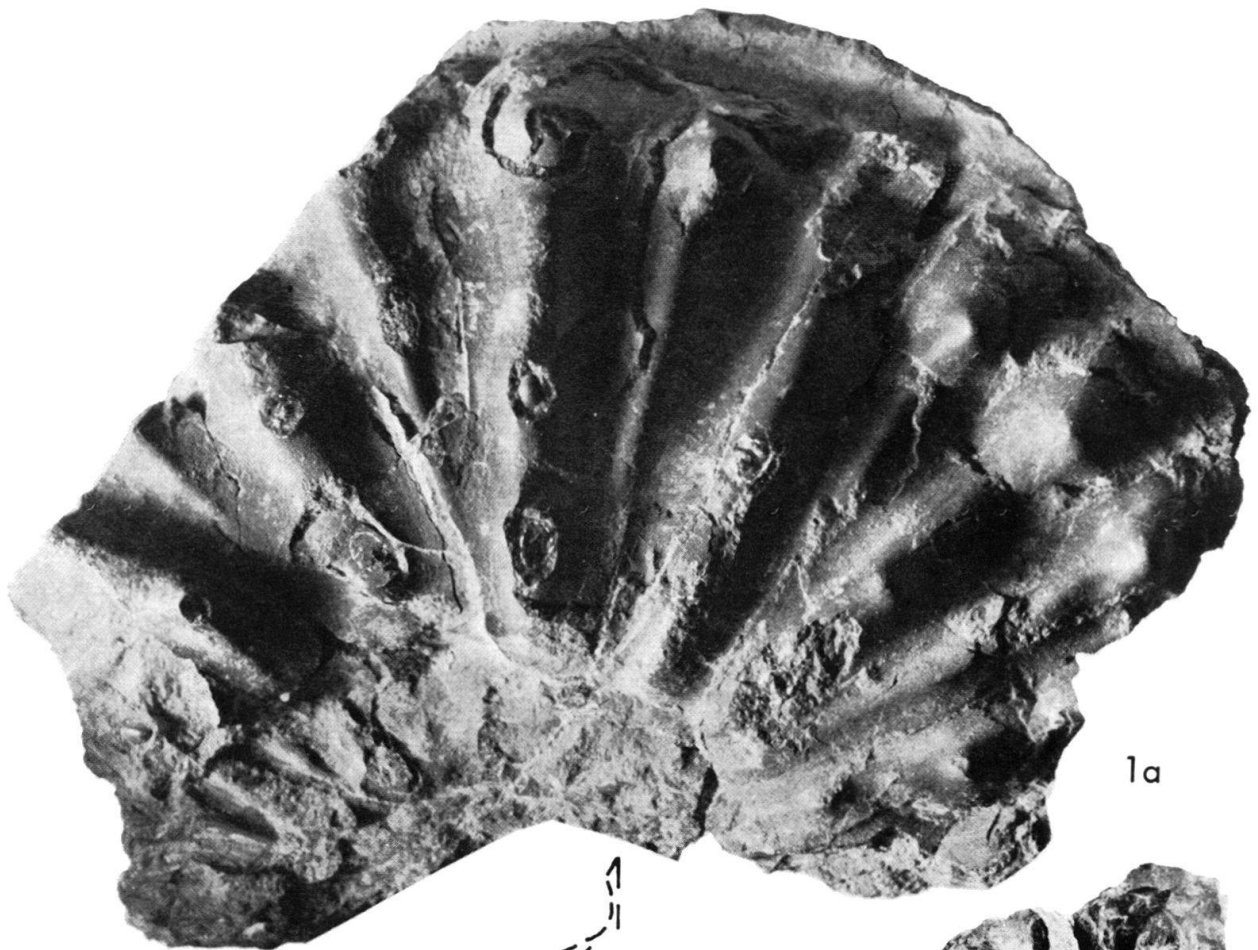
2a



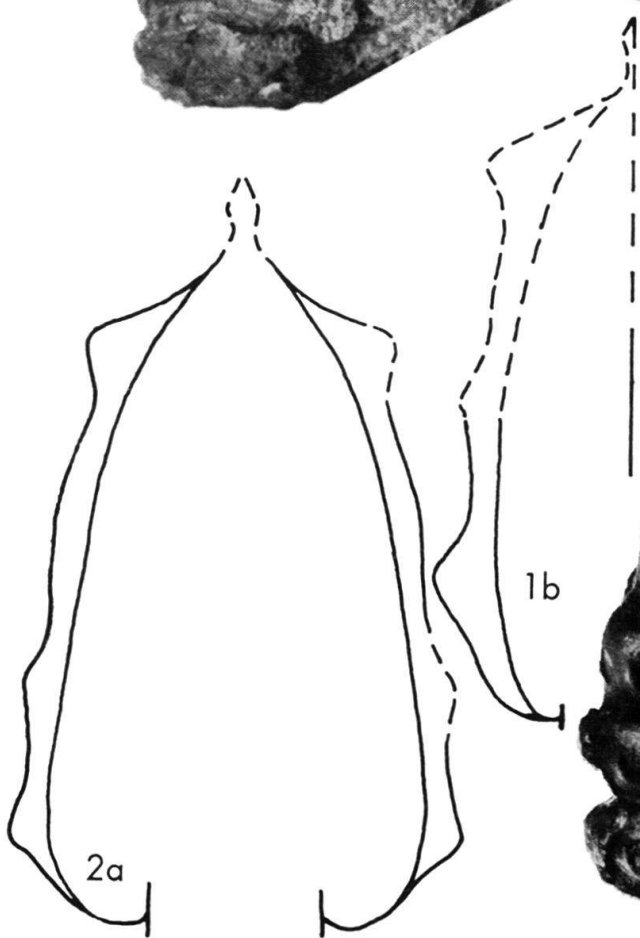
3

Tafel XIII

- Fig. 1 a, b *O. (Laraiceras) nodosum* n. sp., Holotypus Nr. J 17862, Cerro Gordo, La Luna Formation (Schichten 2), nat. Gr., p. 651.
- Fig. 2 a, b *O. (Laraiceras)* sp., Nr. J 17864, La Aguada, La Luna Formation (Schichten 2), nat. Gr., p. 652.



1a



2a



2b

1b

